

Министерство науки и высшего образования Российской Федерации
Федеральное государственное бюджетное образовательное
учреждение высшего образования
«Сибирский государственный индустриальный университет»

**НАУКА И МОЛОДЕЖЬ:
ПРОБЛЕМЫ, ПОИСКИ, РЕШЕНИЯ**

ЕСТЕСТВЕННЫЕ И ТЕХНИЧЕСКИЕ НАУКИ

ВЫПУСК 27

*Труды Всероссийской научной конференции
студентов, аспирантов и молодых ученых
16 – 17 мая 2023 г.*

ЧАСТЬ I

Под общей редакцией профессора С.В. Коновалова

**Новокузнецк
2023**

3. Tsai, K.Y., Tsai M. H., Yeh J.W. Sluggish diffusion in CoCrFeMnNi high entropy alloys // Acta Materialia. 2013. V. 61. Pp. 4887 – 4897.
4. Osintsev K., Gromov V., Vorob'ev S., Ivanov Yu., Panchenko, I. Influence of Electron Beam Treatment on the Defect Substructure of a High-Entropy Co–Cr–Fe–Mn–Ni Alloy. // Steel in Translation. 2022. V. 52. Pp. 375-379. 10.3103/S0967091222040106.
5. Zhang Y., Zuo T.T., Tang Z., Gao M.C., Dahmen K.A., Liaw P.K., Lu Z.P. Microstructures and properties of high-entropy alloys // Progress in Materials Science. 2014. V. 61. Pp. 1–93.
6. G.A. Salishchev, M.A. Tikhonovsky, D.G. Shaysultanov, N.D. Stepanov, A.V. Kuznetsov, I.V. Kolodiy, A.S. Tortika, O.N. Senkov. J. Effect of Mn and V on structure and mechanical properties of highentropy alloys based on CoCrFeNi system // Accepted manuscript. 2014. V. 11. Pp. 591.
7. George E.P., Raabe D., Ritchie R.O. Highentropy alloys. // Nature Reviews Materials. 2019. V. 4. Pp.515 – 534.

УДК 669.715.621.78

ВЛИЯНИЕ НАВОДОРЖИВАНИЯ НА СТРУКТУРУ КРУПНОГАБАРИТНЫХ СЛИТКОВ ИЗ ЭВТЕКТИЧЕСКОГО СИЛУМИНА

Прудников А.Н., Прудников В.А., Рексиус В.С.

*Сибирский государственный индустриальный университет,
г. Новокузнецк, e-mail: a.prudnikov@mail.ru*

Исследована структура крупногабаритных слитков из эвтектического силумина с 12 % Si, изготовленных без обработки и с наводороживанием расплава. Показано, что для слитков из эвтектического силумина диаметром 190 мм характерно наличие неоднородной структуры по их сечению. Установлено, что наводороживание расплава приводит не только к изменению размеров структурных составляющих, но и к появлению в центральной зоне слитка кристаллов первичного кремния.

Ключевые слова: эвтектический силумин, состав, структура, слиток, эвтектика, кристаллы первичного кремния

В настоящее время увеличилось количество работ, посвященных пластической деформации эвтектических и заэвтектических силуминов. Этот интерес связан с широким использованием данных сплавов в промышленности и их комплексом физико-механических и технологических свойств [1-4]. Одним из основных способов повышения механических характеристик силуминов является обработка металла давлением [5-9]. Причем регламентирующим фактором возможности реализации пластической деформации слитков из заэвтектических и эвтектических силуминов является их микроструктура. Зачастую, важную роль в формировании структуры силуминов

играют размеры исследуемых слитков, так как габариты слитка связаны со скоростью охлаждения расплава и, следовательно, с размерами и распределением эвтектического и первичного кремния, а также других промежуточных фаз в структуре сплавов. В связи с этим, целью данной работы является исследование влияние наводороживание расплава на структуры крупногабаритных слитков (диаметр 190 мм) из эвтектического сплава Al-12 % Si.

В качестве материала исследования использовали слитки из двойного эвтектического силумина Al-12 % Si.

Таблица 1 – Химический состав исследуемого сплава

Сплав	Компоненты сплава, вес. %						
	Si	Fe	Cu	Mg	Ni	Ti	Al
Al-12 % Si	11,87	0,11	0,02	0,012	0,004	0,002	ост.

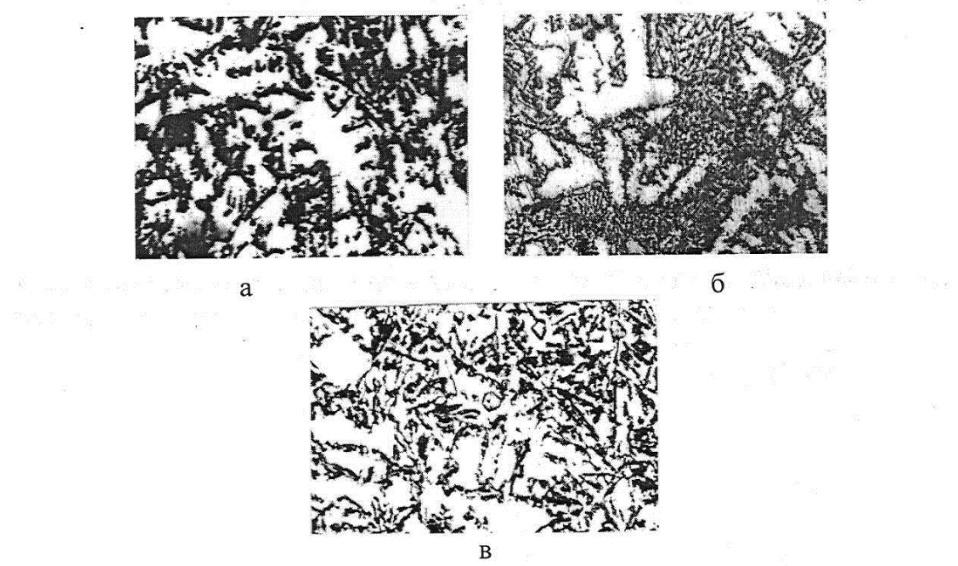
Выплавку силуминов проводили в индукционной высокочастотной печи для алюминиевых сплавов ИАТ-0,06 в промышленных условиях цеха централизованного ремонта АО «Русал-Новокузнецк». Приготовление расплава осуществляли в графито-шамотном тигле емкостью 40 кг. Силумины готовили на алюминии марки А7 (ГОСТ 11069–74), кремний марки Кр0 (ГОСТ 2169–69). Наводороживание расплава проводили с помощью влажных асбестовых тампонов после загрузки сначала одной, а потом и второй навески партии кремния до их полного растворения. В процессе наводороживания температура расплава изменялась в интервале 700–760 °C. После снятия шлака с поверхности расплава и отстаивания в течение 5 минут проводили заливку в стальной кокиль цилиндрической формы при температуре 700–730 °C. Габариты слитков составляли: диаметр 190 мм, высота 520±10 мм, вес 36±0,5 кг.

Металлографический анализ слитков проводили на поперечных темперахах, приготовленных по стандартной методике для алюминиевых сплавов с использованием оптического микроскопа ЛабоМет-И1.

Микроструктура слитков в поперечном сечении по зонам приведена на рисунках 1 (без обработки) и 2 (с наводороживанием расплава).

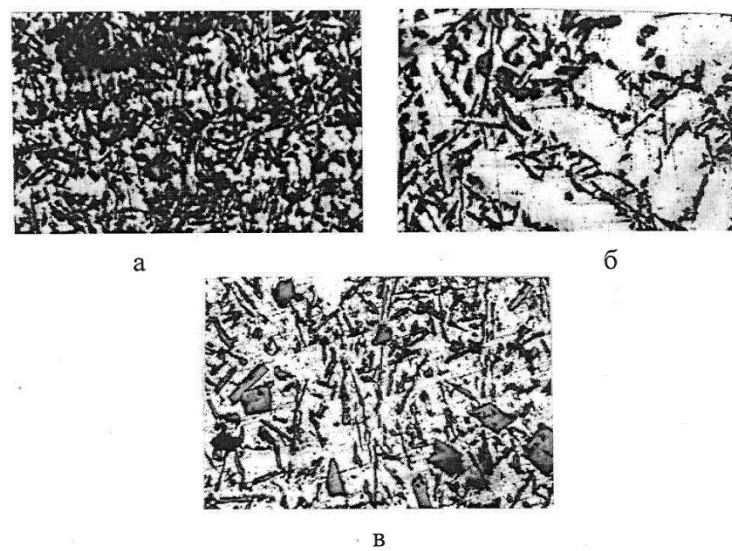
В слитке из эвтектического сплава Al-12 % Si, приготовленного без обработки расплава, в поверхностной области наблюдается частично модифицированная эвтектика (Al+Si) с дендритами или участками α -твердого раствора алюминия (рисунок 1, а). Ближе к центральной части слитка наблюдается переходная зона от модифицированной к размодифицированной эвтектики совместно с участками α -твердого раствора – промежуточная (рисунок 1, б). В большем объеме слитка в его центральной части формируется структура, состоящая из размодифицированной эвтектики игольчатого типа и крупных дендритов и участков α -твердого раствора алюминия (рисунок 1, в). Огрубление структуры центральной части слитка из эвтектического силумина можно связать с замедленной скоростью охлаждения внутренних слоев металла по сравнению с поверхностными слоями. Причем, чем больше диаметр слитка,

тем меньше скорость охлаждения жидкого металла в его центральной части и тем больше степень огрубления структурных составляющих.



а – поверхностная; б – промежуточная; в – центральная зоны

Рисунок 1 – Микроструктура слитка из сплава Al-12 % Si по зонам, $\times 120$



а – поверхностная; б – промежуточная; в – центральная зоны

Рисунок 2 – Микроструктура слитка из сплава Al-12 % Si, приготовленного с наводороживанием расплава, по зонам, $\times 120$

Наводороживание расплава приводит к изменению структуры слитка. В поверхностной зоне слитка также наблюдается частично модифицированная эвтектика, однако объемная доля α -твердого раствора алюминия значительно меньше. В промежуточной и центральной зонах слитка наряду с размодифицированной эвтектикой игольчатого типа в структуре присутствуют кристаллы первичного кремния (КПК). Степень размодифицированности эвтектики (Al+Si), количество и размеры КПК увеличиваются к центру слитка. Средний размер первичных кристаллов кремния составляет 20÷60 мкм (рисунок 2, б, в).

Таким образом, изучена микроструктура крупногабаритных слитков (диаметр 190 мм, вес 36 кг), изготовленных из эвтектического силумина с 12 % Si. Показано, что структура при таких габаритах слитка отличается неоднородностью, в частности наличием нескольких зон с различными размерами и объемными долями структурных составляющих. Установлено, что наводороживание расплава приводит к формированию в центральной зоне слитка структуры с небольшими по размеру КПК.

Библиографический список

1. Панов Е.И. Влияние поперечно-винтовой прокатки на структуру и свойства заэвтектических силуминов / Е.И. Панов, Г.И. Эскин // МиТОМ. – 2004.– № 9.– С. 7-13.
2. Прудников А.Н. Получение прессованных заготовок из заэвтектического силумина и их свойства / А.Н. Прудников, В.А. Прудников // Актуальные проблемы в машиностроении. – 2018.– Т. 5.– № 1-2.– С. 126-131.
3. Prudnikov A.N. Deformable heatproof transeutectic silumin for pistons // A.N. Prudnikov // Steel in Translation. – 2009.– Т. 39. – № 6. – С. 456-459.
4. Афанасьев В.К. Разработка поршневого заэвтектического силумина и технологии изготовления поршней обработкой давлением / В.К. Афанасьев, А.Н. Прудников // Изв. ВУЗов. Цветная металлургия. – 1999.– № 6.– С. 53-56.
5. Прудников А.Н. Комплексное воздействие отжигов и термоциклической ковки на структуру и свойства заэвтектических силуминов // Деформация и разрушение материалов. – 2014.– № 2.– С.14 - 20.
6. Prudnikov A.N. Production, structure and properties of engine pistons made from transeutectic deformable silumin // A.N. Prudnikov // Steel in Translation. – 2009.– Т. 39. – № 5. – С.391-393.
7. Прудников А.Н. Структурно-технологические основы разработки прецизионных силуминов с регламентированным содержанием водорода / Автореферат диссертации на соискание ученой степени доктора технических наук: 05.16.09 / НГТУ, Новосибирск, 2013. – 40 с.
8. Прудников А.Н. Поршневые деформируемые заэвтектические силумины / А.Н. Прудников // Технология металлов.– 2014.– № 2.– С. 8 - 11.
9. Афанасьев В.К. Технология получения слитков, деформированных заготовок и поршней из заэвтектического жаропрочного силумина и их свойства / В.К. Афанасьев, А.Н. Прудников, А.В. Горшенин // Обработка металлов.– 2010.– № 3.– С. 28-31.

ПРОГНОЗИРОВАНИЕ ФАЗОВОГО СОСТАВА ВЫСОКОЭНТРОПИЙНОГО СПЛАВА CoCrFexMn(40-x)Ni С ПОМОЩЬЮ РАСЧЕТА ФЕНОМЕНОЛОГИЧЕСКИХ КРИТЕРИЕВ	
<i>Панова В.С., Кузнецова В.А., Осинцев К.А., Коновалов С.В., Панченко И.А.</i>	172
СТРУКТУРА ВЫСОКОЭНТРОПИЙНОГО СПЛАВА СИСТЕМЫ CoCrFeMnNi	
<i>Панченко И.А., Коновалов С.В., Гостевская А.Н., Дробышев В.К.</i>	174
ВЛИЯНИЕ НАВОДОРОЖИВАНИЯ НА СТРУКТУРУ КРУГНОГАБАРИТНЫХ СЛИТКОВ ИЗ ЭВТЕКТИЧЕСКОГО СИЛУМИНА	
<i>Прудников А.Н., Прудников В.А., Рексиус В.С.</i>	177
ВОЗДЕЙСТВИЕ СТАРЕНИЯ НА ЛИНЕЙНОЕ РАСШИРЕНИЕ ТРАКТОРНОГО ПОРШНЯ ИЗ СПЛАВА АК21М2,5Н2,5	
<i>Прудников А.Н., Закирова Г.К.</i>	181
МИКРОСТРУКТУРА СТАЛИ 10 ПОСЛЕ ДЕФОРМАЦИОННОЙ ТЕРМОЦИКЛИЧЕСКОЙ ОБРАБОТКИ И ОТЖИГА	
<i>Прудников А.Н., Закирова Ш.К.</i>	184
ИССЛЕДОВАНИЕ КОЭФФИЦИЕНТА ТЕПЛОПЕРЕДАЧИ ВСТРОЕННОГО ТЕПЛООБМЕННИКА РЕКТИФИКАЦИОННОЙ КОЛОННЫ	
<i>Баяндина М.М., Кустов А.В.</i>	187
ПРИМЕНЕНИЕ АДДИТИВНЫХ ТЕХНОЛОГИЙ В УСЛОВИЯХ ЛИТЕЙНОГО ЦЕХА АО «ЕВРАЗ ЗСМК»	
<i>Князев С.В., Куценко А.А., Нечепорук А.И., Сорокин А.А.</i>	192
СИСТЕМА ПРИТОЧНО-ВЫТЯЖНОЙ ВЕНТИЛЯЦИИ ДЛЯ ОБЕСПЕЧЕНИЯ БЕЗОПАСНОСТИ И КОМФОРТА В ОБЖИМНОМ ЦЕХЕ	
<i>Куценко А.А., Назаров М.А.</i>	195
ПОВЫШЕНИЕ ЭФФЕКТИВНОСТИ ОЧИСТКИ ДЫМОВЫХ ГАЗОВ ПУТЕМ ЗАМЕНЫ ТЯГОДУТЬЕВЫХ АГРЕГАТОВ ГО МОЗ НА АСПИРАЦИОННЫЕ ГАЗО-ЖИДКОСТНЫЕ УСТАНОВКИ	
<i>Куценко А.А., Назаров М.А.</i>	198
ИССЛЕДОВАНИЕ МИКРОСТРУКТУРЫ АЛЮМИНИЕВОГО СПЛАВА НА ОСНОВЕ СИСТЕМЫ Al-Zn-Mg-Cu	
<i>Дробышев В.К., Лабунский Д.Н., Коновалов С.В., Панченко И.А.</i>	201
ВЛИЯНИЕ КОМПЛЕКСНЫХ ВОССТАНОВИТЕЛЕЙ НА ЭФФЕКТИВНОСТЬ МЕТАЛЛОТЕРМИЧЕСКОГО ПРОЦЕССА ВОССТАНОВЛЕНИЯ МАРГАНЦА.	
<i>Сафонов С.О., Лопатина А.О., Дида Н.И., Савичева Д.Н., Тархнишивили Г.Э.</i>	204
ПРОИЗВОДСТВО СОРТОВЫХ ПРОФИЛЕЙ ПО ТЕХНОЛОГИИ ПРОКАТКИ-РАЗДЕЛЕНИЯ	
<i>Вахроломеев В.А., Фастыковский А.Р.</i>	210
ЦИФРОВОЙ ПОДХОД В ОЦЕНКЕ ПРОЧНОСТИ ОБОРУДОВАНИЯ ПРОКАТНОЙ КЛЕТИ	
<i>Раковский В.С., Чернова А.А., Наумченко Д.М., Щербак А.Н., Фастыковский А.Р.</i>	213